УДК 616.212.9 DOI 10.21685/2072-3032-2020-3-6

О. В. Калмин, О. О. Илюнина

ВЗАИМОСВЯЗЬ РАЗМЕРНЫХ И ТОПОГРАФОАНАТОМИЧЕСКИХ ХАРАКТЕРИСТИК РЕЗЦОВОГО КАНАЛА С ВЫСОТНО-ДЛИННОТНЫМ УКАЗАТЕЛЕМ ТВЕРДОГО НЕБА

Аннотация.

Актуальность и цели. Целью исследования явилось изучение размерных и топографоанатомических характеристик резцового канала у лиц первого взрослого возраста в зависимости от значения высотно-длиннотного указателя твердого неба.

Материалы и методы. Объектом исследования явились 80 мужчин в возрасте от 22 до 35 лет и 94 женщины в возрасте от 21 до 35 лет (174 человека первого зрелого возраста). На гипсовых моделях изучали параметры костного неба, на конусно-лучевой компьютерной томографии — размерно-топографические характеристики резцового канала.

Результаты. Наибольший мезио-дистальный диаметр носового отверстия обнаружен при гипсидолихостафилии, наименьший — при хамедолихостафилии. Расстояния от резцового отверстия до губно-нижней и небнонижней точек альвеолярного отростка верхней челюсти были максимальны у группы гипсидолихостафилии. Значение длины резцового канала превалирует у объектов исследования, имеющих высокое костное небо. Наибольший угол наклона резцового канала относительно плоскости костного неба был обнаружен при хамедолихостафилии, а относительно длинной оси альвеолярного отростка — при гипсидолихостафилии. При увеличении высоты костного неба в сагиттальной плоскости наклон резцового канала относительно плоскости костного неба уменьшается.

Выводы. Резцовый канал обладает выраженной индивидуальной изменчивостью анатомии, размеров и топографии в зависимости от соотношения высоты и длины костного неба.

Ключевые слова: резцовый канал, конусно-лучевая компьютерная томография, костное небо, резцовое отверстие, носовое отверстие, высотнодлиннотный указатель.

O. V. Kalmin, O. O. Ilyunina

INTERRELATION BETWEEN DIMENSIONAL AND TOPOGRAPHIC ANATOMICAL CHARACTERISTICS OF INCISIVE CANAL AND HEIGHT-LENGTH INDEX OF HARD PALATE

Abstract.

Background. The aim of the research was to study dimensional and topographic anatomical characteristics of the incisive canal in first adulthood depending on the value of hard palate height-length index.

University proceedings. Volga region

[©] Калмин О. В., Илюнина О. О., 2020. Данная статья доступна по условиям всемирной лицензии Creative Commons Attribution 4.0 International License (http://creativecommons.org/licenses/by/4.0/), которая дает разрешение на неограниченное использование, копирование на любые носители при условии указания авторства, источника и ссылки на лицензию Creative Commons, а также изменений, если таковые имеют место.

Materials and methods. 80 men aged from 22 to 35 years and 94 women aged from 21 to 35 years (174 persons of the first adulthood). Bone palate parameters were studied on cast dental models; dimensional-topographic characteristics of the incisive canal were done on cone-beam computed tomography.

Results. The greatest mesio-distal diameter of nasal foramen was in the group of gipsydolichostaphilia, the lowest one was in the group of hamedolichostaphilia. Distances between foramen incisivum and inferior-labial, inferior-palatal points of maxillary alveolar process were maximal in the group of hypsidolichostaphilia. Value of the incisive canal length prevails in the study subjects that have high bone palate. The greatest inclination angle of incisive canal relative to the bone palate plane was found in hamedolichostaphilia, and relative to the long axis of maxillary alveolar process was in hypsidolichostaphilia. When height of bone palate increases in sagittal plane, the incisive canal inclination relative to bone palate plane decreases.

Conclusion. Incisive canal has a pronounced individual variability in anatomy, size, and topography depending on the ratio of height and length of the bone palate.

Keywords: incisive canal, cone-beam computed tomography, bone palate, foramen incisivum, nasal foramen, height-length index.

Ввеление

Резцовый канал содержит носо-небный нерв, носовую заднюю перегородочную артерию, нисходящую небную артерию, фиброзную соединительную ткань и малые слюнные железы. Резцовый канал проходит в толще небного отростка верхней челюсти, открываясь в полость рта резцовым отверстием, в полость носа — носовыми отверстиями [1, 2]. Резцовый канал может занимать до 58 % толщины альвеолярного отростка верхней челюсти [3]. Данные о размерах, морфо-топографических особенностях резцового канала и анатомических взаимоотношениях резцового канала и корней передней группы зубов верхней челюсти необходимы для предупреждения травмы нейроваскулярного пучка канала в ходе оперативных манипуляций [4—6].

Целью исследования явилось изучение размерных и топографоанатомических особенностей резцового канала у лиц первого зрелого возраста в зависимости от высоты и длины костного неба.

Материалы и методы

Объектом исследования явились 174 человека первого зрелого возраста (80 мужчин в возрасте от 22 до 35 лет и 94 женщины в возрасте от 21 до 35 лет).

На гипсовых моделях измеряли высоту костного неба на уровне между клыками и первыми премолярами верхней челюсти; верхними первыми и вторыми премолярами и первыми молярами верхней челюсти; верхними первыми и вторыми молярами и длину костного неба. Используя полученные данные, рассчитывали высотно-длиннотный указатель твердого неба (отношение высоты неба к его длине, выраженное в процентах).

Конусно-лучевую компьютерную томографию выполняли на аппарате ORTHOPHOSXG 3DSIRONA с программным обеспечением Galaxis. Доза облучения составляла 0,693 мкЗв. На конусно-лучевых компьютерных томограммах определяли количество и размеры носовых и резцовых отверстий, форму резцового отверстия; расстояния от резцового отверстия до губнонижней и небно-нижней точек альвеолярного отростка и до фронтальной

группы зубов верхней челюсти; длину, форму и тип резцового канала; расстояния от канала до верхушек корней резцов и клыков верхней челюсти; углы наклона резцового канала относительно плоскости костного неба и длинной оси альвеолярного отростка.

Количественные данные обрабатывали вариационно-статистическими методами с помощью пакета программ Statistica for Windows v 10.0. Все изученные параметры проверяли на нормальность распределения с помощью критерия Колмогорова — Смирнова при уровне значимости p < 0.05. Для параметров, имеющих нормальное распределение, определяли среднее арифметическое значение и стандартное отклонение; для параметров, имеющих ненормальное распределение — медиану и границы (25 % и 75 %) процентилей (интерквартильный размах). Достоверность различий между группами оценивали с помощью критерия Колмогорова — Смирнова при уровне значимости p < 0.05. Для выявления тесноты связи между исследуемыми параметрами рассчитывали коэффициент ранговой корреляции Спирмена $(r \le 0.3 - \text{слабая}; 0.4 \le r \le 0.7 - \text{умеренная}; r \ge 0.7 - \text{высокая}).$

Результаты исследований и обсуждение

На основании значений высотно-длиннотного указателя неба были выделены следующие типы твердого неба: хамедолихостафилия (низкое, <27,9), ортодолихостафилия (среднее, 28–39,9), гипсидолихостафилия (высокое, >40) [7, 8]. Гипсидолихостафилия была выявлена в 4,6 % случаев, ортодолихостафилия – в 64,4 % случаев, хамедолихостафилия – в 31 % случаев (рис. 1).

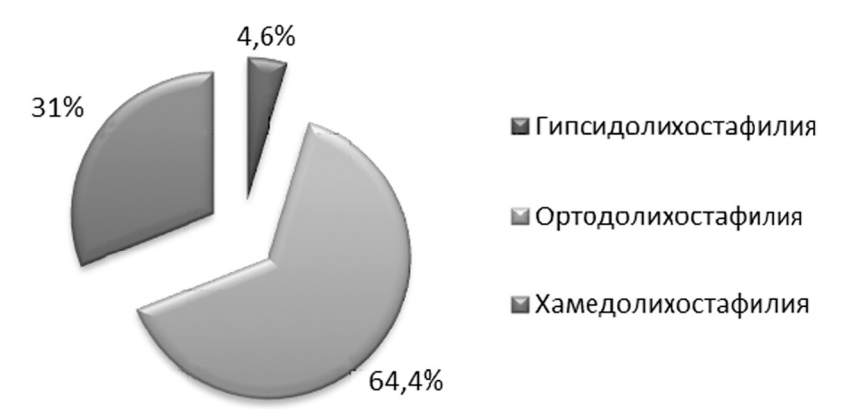


Рис. 1. Частота встречаемости типов костного неба в зависимости от значения высотно-длиннотного указателя неба (%)

В полость носа резцовый канал открывался одним-четырьмя носовыми отверстиями. У всех объектов исследования вне зависимости от формы косного неба в подавляющем большинстве случаев резцовый канал имел два и три носовых отверстия. При ортодолихостафилии наиболее редко были обнаружены четыре носовых отверстия. При гипсидолихостафилии четырех отверстий выявлено не было (рис. 2).

Наибольший мезио-дистальный размер носового отверстия наблюдался в группе гипсидолихостафилии: на 52,8 и 66 % соответственно больше, чем

в группах ортодолихостафилии и хамедолихостафилии (p < 0.05); наименьшее значение данного параметра было у группы хамедолихостафилии: на 8,6 % ниже, чем у группы ортодолихостафилии (p < 0.001). Значение вестибулолингвального размера носового отверстия у группы хамедолихостафилии было на 36,2 % ниже, чем у группы гипсидолихостафилии (p < 0.05).



■ 3 носовых отверстия ■ 4 носовых отверстия

Рис. 2. Частота встречаемости количества носовых отверстий в зависимости от значений высотно-длиннотного указателя (%)

Мезио-дистальный размер резцового отверстия у группы гипсидолихостафилии был на 58 % больше, чем у группы хамедолихостафилии (p < 0.05). Значение вестибуло-лингвального размера резцового отверстия у группы хамедолихостафилии было на 1,1 % ниже, чем у группы ортодолихостафилии (p < 0.05) (табл. 1).

Таблица 1 Размерные характеристики носового и резцового отверстий в зависимости от значения высотно-длиннотного указателя твердого неба

П	Гипсидоли- хостафилия (г)	Ортодоли- хостафилия (о)	Хамедоли- хостафилия (х)	Достоверность
Диаметр	Медиана процентилей	различий		
Мезио-дистальный диаметр носового отверстия, мм	2,36 [1,21; 3,62]	1,53 [1,05; 2,20]	1,14 [0,78; 2,18]	$\Gamma/o - p < 0.05$ $\Gamma/x - p < 0.05$ O/x - p < 0.001
Вестибуло- лингвальный диаметр носового отверстия, мм	2,57 [1,68; 4,30]	2,21 [1,26; 2,96]	1,82 [1,17; 2,96]	r/o - p > 0.05 r/x - p < 0.05 o/x - p > 0.05
Мезио-дистальный диаметр резцового отверстия, мм	4,39 [4,11; 6,66]	3,60 [2,74; 4,36]	3,18 [2,64; 4,35]	$\Gamma/o - p > 0.05$ $\Gamma/x - p < 0.05$ $\sigma/x - p > 0.05$
Вестибуло- лингвальный диаметр резцового отверстия, мм	4,18 [3,69; 5,74]	3,57 [2,94; 4,29]	3,95 [2,66; 4,52]	r/o - p > 0.05 r/x - p > 0.05 o/x - p < 0.05

Были выявлены овальная, сердцевидная и каплеобразная формы резцового отверстия [9]. Независимо от значения высотно-длиннотного указателя у всех групп наиболее часто было выявлено резцовое отверстие овальной формы. В группе ортодолихосафилии реже всего была обнаружена каплеобразная форма резцового отверстия; в группах гипсидолихостафилии и хамедолихостафилии — сердцевидная форма; резцовое отверстие каплеобразной формы у группы гипсидолихостафилии выявлено не было (рис. 3).

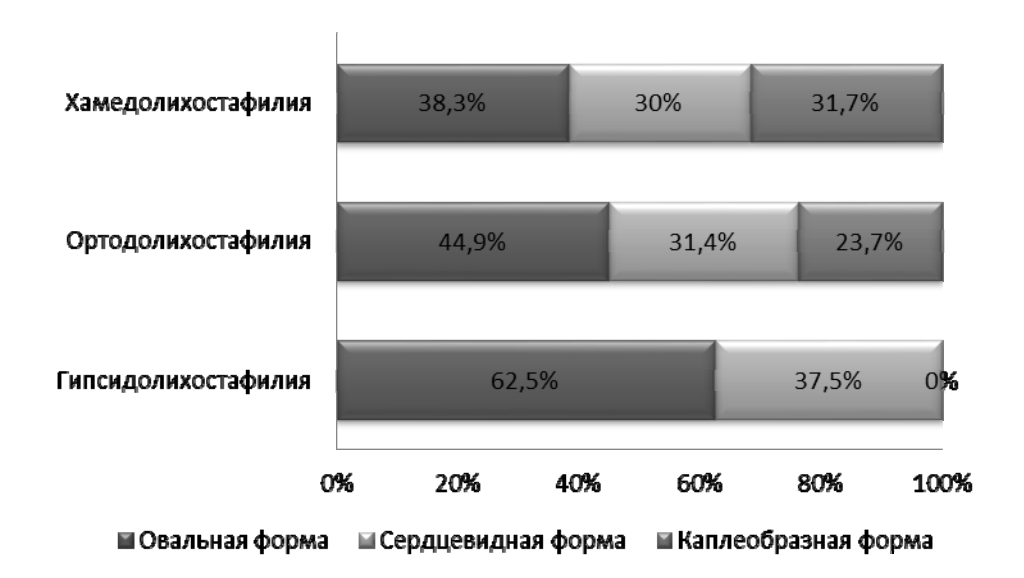


Рис. 3. Частота встречаемости формы резцовых отверстий в зависимости от значений высотно-длиннотного указателя твердого неба (%)

Резцовое отверстие располагалось между центральными резцами верхней челюсти на расстоянии $11,75 \pm 1,86$ мм от губно-нижней точки альвеолярного отростка верхней челюсти и $9,60 \pm 2,29$ мм от небно-нижней точки альвеолярного отростка. Расстояние между резцовым отверстием и губно-нижней точкой альвеолярного отростка верхней челюсти в группе гипсидолихостафилии было на 12,5 и 12,5 % соответственно больше, чем в группах хамедолихостафилии и ортодолихостафилии (p < 0,05). Расстояние от небно-нижней поверхности альвеолярного отростка верхней челюсти до резцового отверстия при гипсидолихостафилии было на 21 и 19,7 % соответственно больше, чем при хамедолихостафилии и ортодолихостафилии (p < 0,05).

Расстояние от резцового отверстия до правого верхнего латерального резца в группе ортодолихостафилии было на 9,31 % меньше, чем в группе хамедолихостафилии (p < 0,05). У группы гипсидолихостафилии расстояние от резцового отверстия до верхнего правого клыка было на 20,7 % меньше, чем у группы хамедолихостафилии (p < 0,01). Расстояние от резцового отверстия до левого клыка верхней челюсти при хамедолихостафилии было на 2,1 % больше, чем при ортодолихостафилии (p < 0,05) (табл. 2).

Минимальное значение длины резцового канала составило $6,79\,$ мм, максимальное $-15,87\,$ мм. Длина резцового канала в группе с высоким кост-

ным небом составляла $13,43\pm2,69$ мм (7,63-15,81 мм), в группе с низким небом $-11,60\pm2,24$ мм (6,83-15,61 мм). У группы со средней высотой костного неба длина резцового канала составила $11,22\pm2,31$ мм (6,79-15,87 мм). Длина резцового канала у лиц, имеющих высокое костное небо в сагиттальной плоскости (гипсидолихостафилия), была на 15,8 и 19,7 % соответственно больше, чем у лиц, имеющих низкое небо (хамедолихостафилия) и небо средней высоты (ортодолихостафилия) (p < 0,05 и p < 0,01 соответственно).

Таблица 2 Расстояния от резцового отверстия до губно-нижней и небно-нижней поверхностей альвеолярного отростка верхней челюсти; фронтальной группы зубов верхней челюсти в зависимости от значения высотно-длиннотного указателя твердого неба

Расстояние от резцового отверстия до	Гипсидоли- хостафилия (г)	Ортодоли- хостафилия (о) М± σ	Хамедоли- хостафилия (х)	Достовер- ность различий
губно-нижней поверхности альвеолярного отростка верхней челюсти, мм	13,15 ± 1,28	11,69 ± 1,99	11,69 ± 1,58	$\Gamma/o - p < 0.05$ $\Gamma/x - p < 0.05$ $\sigma/x - p > 0.05$
небно-нижней поверхности альвеолярного отростка верхней челюсти, мм	11,43 ± 2,77	9,55 ± 2,41	9,45 ± 1,86	$\Gamma/o - p < 0.05$ $\Gamma/x - p < 0.05$ $\sigma/x - p > 0.05$
	Медиана и 1	раницы (25 % и	75 %)	
процентилей (интерквартильный размах)				
правого центрального резца, мм	2,90 [0,20; 3,94]	1,72 [1,37; 2,77]	2,24 [1,46; 2,56]	$\Gamma/O - p > 0.05$ $\Gamma/X - p > 0.05$ O/X - p > 0.05
левого центрального резца, мм	2,47 [0,10; 3,79]	1,89 [1,28; 2,63]	1,89 [1,37; 2,52]	$\Gamma/O - p > 0.05$ $\Gamma/X - p > 0.05$ O/X - p > 0.05
правого латерального резца, мм	4,65 [4,30; 4,90]	4,54 [3,95; 5,15]	5,02 [4,18; 5,97]	$\Gamma/O - p > 0.05$ $\Gamma/X - p > 0.05$ O/X - p < 0.05
левого латерального резца, мм	4,41 [3,43; 4,66]	4,59 [3,94; 5,19]	4,82 [4,19; 5,61]	$\Gamma/O - p > 0.05$ $\Gamma/X - p > 0.05$ O/X - p > 0.05
правого клыка, мм	8,16 [7,72; 8,74]	9,43 [8,35; 10,58]	9,80 [9,00; 10,76]	$\Gamma/O - p > 0.05$ $\Gamma/X - p < 0.01$ O/X - p > 0.05
левого клыка, мм	9,92 [7,05; 10,96]	9,32 [8,47; 10,04]	9,86 [8,78; 10,50]	$\Gamma/O - p > 0.05$ $\Gamma/X - p > 0.05$ O/X - p < 0.05

Резцовый канал имел воронкообразную, веретенообразную, цилиндрическую формы и форму песочных часов [9]. При ортодолихостафилии и хамедолихостафилии наиболее часто была выявлена форма песочных часов резцового канала; при гипсидолихостафилии — воронкообразная форма канала. Реже всего у лиц с низким костным небом был обнаружен резцовый канал цилиндрической формы; у лиц с высоким и средним костным небом — веретенообразная форма канала. У лиц, имеющих высокое костное небо, цилиндрической формы резцового канала обнаружено не было (рис. 4).

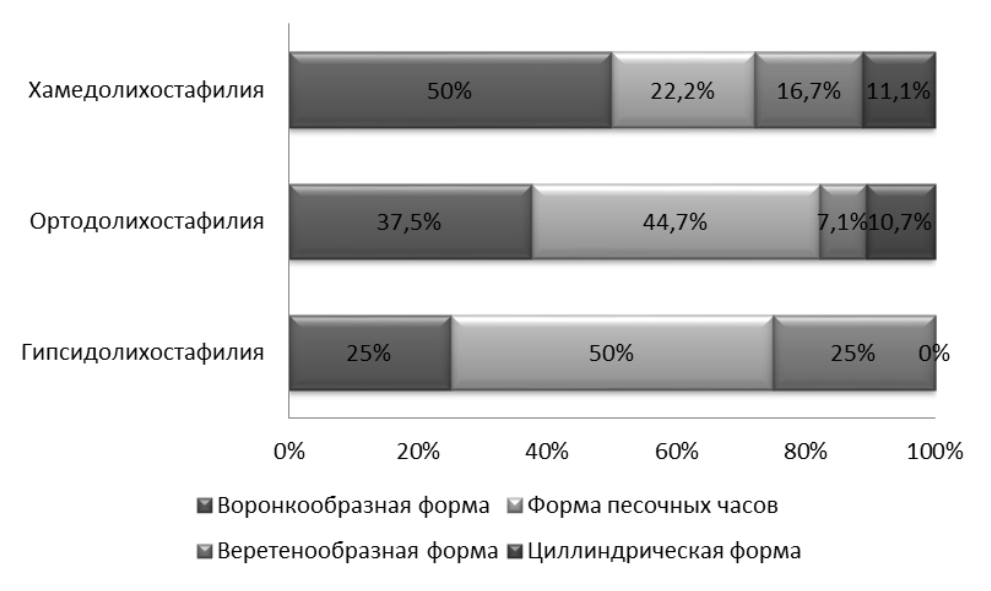


Рис. 4. Частота встречаемости формы резцовых каналов в зависимости от значений высотно-длиннотного указателя твердого неба (%)

Были выявлены четыре типа резцового канала: І тип — без ответвлений; ІІ тип — с одним ответвлением; ІІІ тип — с двумя ответвлениями; IV тип — с тремя ответвлениями [9]. У всех объектов исследования вне зависимости от значения высотно-диннотного указателя в подавляющем большинстве случаев резцовый канал имел одно и два ответвления, наиболее редко был выявлен IV тип резцового канала (рис. 5).

Расстояние от резцового канала до верхушки корня правого латерального резца верхней челюсти у лиц, имеющих низкое костное небо, было на 8.7~% больше, чем в группе с костным небом средней высоты (p < 0.05). Расстояние между верхушкой корня верхнего правого клыка и резцовым каналом у объектов исследования с низким небом было на 20.7~% больше, чем у группы с высоким костным небом (p < 0.01) (табл. 3).

Угол наклона резцового канала относительно плоскости костного неба у группы хамедолихостафилии был на 1,9 и 9,8 % соответственно больше, чем у групп ортодолихостафилии и гипсидолихостафилии (p < 0.01 и p < 0.05 соответственно). Угол наклона резцового канала относительно длинной оси альвеолярного отростка при гипсидолихостафилии был на 18,4 и 33,2 % соответственно больше, чем при хамедолихостафилии и ортодолихостафилии (p < 0.01) (табл. 4). Было выявлено, что при увеличении высоты костного

неба в сагиттальной плоскости наклон резцового канала относительно плоскости костного неба уменьшается (r = -0.22).

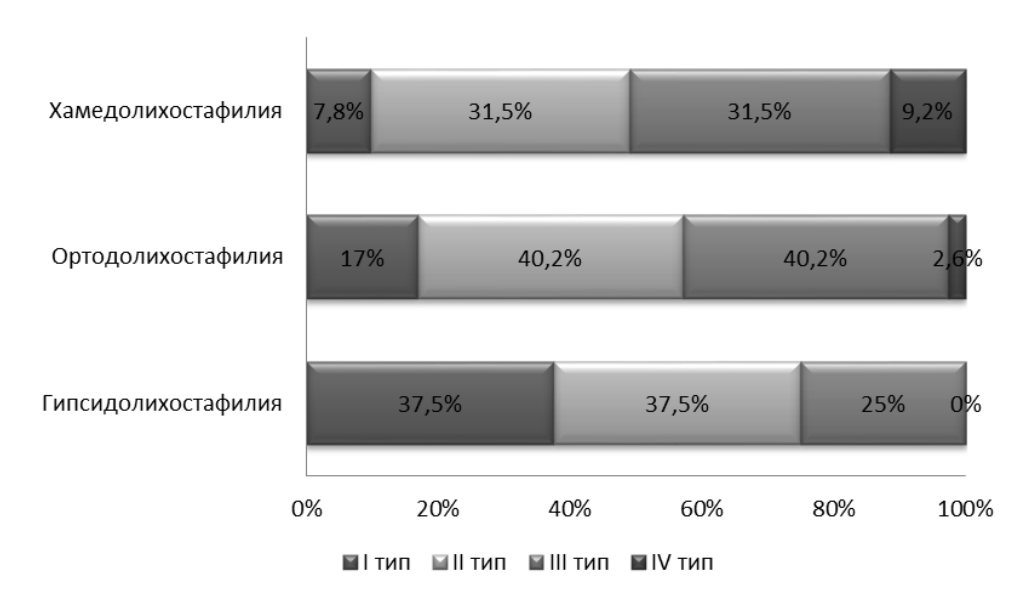


Рис. 5. Частота встречаемости типов резцовых каналов в зависимости от значений высотно-длиннотного указателя твердого неба (%)

Таблица 3 Расстояния между верхушками корней фронтальной группы зубов верхней челюсти и резцовым каналом в зависимости от значений высотно-длиннотного указателя твердого неба

Расстояние	Гипсидоли-	Ортодоли-	Хамедоли-	
от резцового	хостафилия (г)	хостафилия (о)	хостафилия (х)	Достоверность
канала	Медиана и границы (25 % и 75 %)			различий
до верхушки корня	процентилей (интерквартильный размах)			
правого	4,14	3,67	3,90	$\Gamma/O - p > 0.05$
центрального	[0,77; 6,34]	[2,73; 4,66]	[3,29; 4,31]	$\Gamma/X - p > 0.05$
резца, мм	[0,77, 0,34]	[2,73, 4,00]	[3,29, 4,31]	o/x - p > 0.05
левого	2,84	3,15	3,47	$\Gamma/O - p > 0.05$
центрального	,	-		$\Gamma/X - p > 0.05$
резца, мм	[0,85; 5,18]	[2,69; 4,22]	[2,70; 4,11]	o/x - p > 0.05
правого	5 22	5 26	5 50	$\Gamma/O - p > 0.05$
латерального	5,32 [4,66; 6,01]		5,58 [5,13; 6,38]	$\Gamma/X - p > 0.05$
резца, мм				o/x - p < 0.05
левого	5,21	5,28	5,74	$\Gamma/o - p > 0.05$
латерального	•	-	,	$\Gamma/X - p > 0.05$
резца, мм	[3,09; 5,51]	[4,31; 6,21]	[4,49; 6,54]	o/x - p > 0.05
наового	0.44	10.07	10.90	$\Gamma/O - p > 0.05$
правого	9,44	10,97	10,80	$\Gamma/X - p < 0.01$
клыка, мм	[9,04; 10,09]	[9,48; 12,01]	[9,82; 11,38]	o/x - p > 0.05
народа	10.26	10.52	10.80	$\Gamma/O - p > 0.05$
левого	10,26	10,52	10,89	$\Gamma/X - p > 0.05$
клыка, мм	[10,22; 10,55]	[9,75; 11,65]	[10,20; 12,38]	o/x - p > 0.05

Таблица 4 Наклон резцового канала в зависимости от значений высотно-длиннотного указателя твердого неба

Угол наклона	Лепто-	Мезо-	Брахи-	
резцового	стафилия (г)	стафилия (о)	стафилия (х)	Достоверность
канала		M + -		различий
относительно	$M \pm \sigma$			
плоскости костного неба	98,80 ± 5,64°	106,58 ± 9,72°	108,48 ± 6,64°	$\Gamma/O - p > 0.05$ $\Gamma/X - p < 0.05$ O/X - p < 0.01
длинной оси альвеолярного отростка	22,44 ± 1,34°	16,85 ± 7,48°	18,96 ± 8,66°	$\Gamma/o - p < 0.01$ $\Gamma/x - p < 0.01$ O/x - p > 0.05

В ходе исследования было выявлено, что резцовый канал может открываться в полость носа одним, двумя, тремя и четырьмя носовыми отверстиями. Настоящие результаты соответствуют данным предыдущих исследований, в которых также сообщено о возможности наличия до четырех носовых отверстий [10]. Н. Sicher сообщил о возможности наличия до шести отдельных носовых отверстий (отверстия Scarpa) [11]. Однако W. C. Song et al. и S. Jacob et al. обнаружили только два носовых отверстия и поставили под сомнение существование термина «отверстия Scarpa» как существующего дополнительного носового отверстия на уровне носового дна [12]. По данным S. M. Al-Amery et al., средняя губно-небная ширина резцового отверстия составила 2,80 мм, что ниже результатов нашего исследования, а мезиодистальная ширина – 3,49 мм, что сопоставимо с результатами настоящего исследования [13]. Близкие к результатам нашего исследования данные были получены японскими учеными R. Asaumi et al.: губно-небная ширина резцового отверстия равнялась 3,8 мм, мезио-дистальная ширина – 3,7 мм [14]. Средняя длина резцового канала в настоящем исследовании составила 11.4 ± 2.33 мм, в диапазоне от 6.79 до 15.87 мм. Результаты настоящего исследования были меньше по сравнению с результатами исследований P. Soumya et al., где длина канала составила $18,63 \pm 2,35$ мм и больше, по сравнению с результатами, полученными X. Liang et al. -9.9 ± 2.6 мм [15, 16]. Хотя резцовый канал был исследован ранее, не было проведено комбинированного исследования размеров, топографии резцового канала и изменчивости анатомии и топографии резцового канала в зависимости от высоты и длины костного неба.

Заключение

Таким образом, наибольший мезио-дистальный диаметр носового отверстия выявлен при гипсидолихостафилии, наименьший — при хамедолихостафилии. Вестибуло-лингвальный размер носового отверстия у лиц, имеющих низкое костное небо, был достоверно ниже, чем у группы с высоким небом. Наибольшие расстояния от резцового отверстия до губнонижней и небно-нижней точек альвеолярного отростка верхней челюсти выявлены при гипсидолихостафилии. Значение длины резцового канала больше у объектов исследования, имеющих высокое костное небо. Угол

наклона резцового канала относительно плоскости костного неба больше при хамедолихостафилии, а относительно длинной оси альвеолярного отростка — при гипсидолихостафилии. При увеличении высоты костного неба в сагиттальной плоскости наклон резцового канала относительно плоскости костного неба уменьшается.

Библиографический список

- 1. **Сапин**, **М. Р.** Анатомия человека : в 2 т. / М. Р. Сапин, В. Н. Николенко, Д. Б. Никитюк. Москва : ГЭОТАР-Медиа, 2015. Т. 2. 456 с.
- 2. **Miwa, Y.** Morphological observation and CBCT of the bony canal structure of the groove and the location of blood vessels and nerves in the palatine of elderly human cadavers / Y. Miwa, R. Asaumi, T. Kawai, Y. Maeda, I. Sato // Surg Radiol Anat. − 2018. Vol. 40, № 2. P. 199–206.
- 3. **Acar**, **B.** Morphological and volumetric evaluation of the nasopalatinal canal in a Turkish population using cone-beam computed tomography / B. Acar, K. Kamburoglu // Surg Radiol Anat. 2015. Vol. 37, № 3 P. 259–265.
- 4. Местное обезболивание и анестезиология в стоматологии : учеб. пособие / С. Н. Кражан, К. С. Гандылян, Е. М. Шарипов, Е. В. Волков, Н. Н. Письменов. Ставрополь : СтГМУ, 2014. 202 с.
- Cone beam computerized tomography evaluation of incisive canal and anterior maxillary bone thickness for placement of immediate implants / M. Panda, T. Shankar, A. Raut, S. Dev, A. K. Kar, S. Hota // J Indian Prosthodont Soc. 2018. Vol. 18, № 4. P. 356–363.
- 6. Taschieri, S. Morphological features of the maxillary incisors roots and relationship with neighbouring anatomical structures: possible implications in endodontic surgery / S. Taschieri, T. Weinstein, G. Rosano, M. Del Fabbro // Int J Oral Maxillofac Surg. 2012. Vol. 41, № 5. P. 616–623.
- Лукина, Г. А. Индивидуально-типологическая изменчивость твердого неба во взаимосвязи с формой лица, головы и типами телосложения взрослых людей / Г. А. Лукина // Морфология. – 2009. – Т. 136, № 4. – С. 97.
- 8. **Сперанский, В. С.** Основы медицинской краниологии / В. С. Сперанский. Москва: Медицина, 1988. 284 с.
- 9. **Калмин, О. В.** Особенности топографии резцового канала в первом периоде зрелого возраста / О. В. Калмин, О. О. Илюнина, Л. А. Зюлькина // Саратовский научно-медицинский журнал. 2019. Т. 15, № 3. С. 690–696.
- 10. **Thakur**, **A. R.** Anatomy and morphology of the nasopalatine canal using cone-beam computed tomography / A. R. Thakur, K. Burde, K. Guttal, V. G. Naikmasur // Imaging Sci Dent. 2013. Vol. 43, № 4. P. 273–281.
- 11. **Sicher**, **H.** Anatomy and oral pathology / H. Sicher // Oral Surg Oral Med Oral Pathol. 1962. Vol. 15. P. 1264–1269.
- Song, W. C. Microanatomy of the incisive canal using three-dimensional reconstruction of micro CT images: an ex vivo study / W. C. Song, D. I. Jo, J. Y. Lee, J. N. Kim, M. S. Hur, K. S. Hu // Oral Surg Oral Med Oral Pathol Oral Radiol Endod. 2009. Vol. 108. P. 583–590.
- 13. Cone beam computed tomography assessment of the maxillary incisive canal and foramen: considerations of anatomical variations when placing immediate implants / S. M. Al-Amery, P. Nambiar, M. Jamaludin, J. John, W. C. Ngeow // PLoS One. − 2015. Vol. 10, № 2 P. 13.
- 14. Three-dimensional observations of the incisive canal and the surrounding bone using cone-beam computed tomography / R. Asaumi, T. Kawai, I. Sato, S. Yoshida, T. Yosue // Oral Radiology. 2010. Vol. 26. P. 20–28.

- 15. **Soumya**, **P.** Maxillary Incisive Canal Characteristics: A Radiographic Study Using Cone Beam Computerized Tomography / P. Soumya, P. Koppolu, K. R. Pathakota, V. Chappidi // Radiol Res Pract. 2019. 5 p.
- 16. Macro- and micro-anatomical, histological and computed tomography scan characterization of the nasopalatine canal / X. Liang, R. Jacobs, W. Martens, Y. Hu, P. Adriaensens, M. Quirynen // J Clin Periodontol. 2009. Vol. 36. P. 598–603.

References

- 1. Sapin M. R., Nikolenko V. N., Nikityuk D. B. *Anatomiya cheloveka: v 2 t.* [Human anatomy: in 2 volumes]. Moscow: GEOTAR-Media, 2015, vol. 2, 456 p. [In Russian]
- Miwa Y., Asaumi R., Kawai T., Maeda Y., Sato I. Surg Radiol Anat. 2018, vol. 40, no. 2, pp. 199–206.
- 3. Acar B., Kamburoglu K. Surg Radiol Anat. 2015, vol. 37, no. 3, pp. 259–265.
- 4. Krazhan S. N., Gandylyan K. S., Sharipov E. M., Volkov E. V., Pis'menov N. N. *Mestnoe obezbolivanie i anesteziologiya v stomatologii: ucheb. posobie* [Local anesthesia and anesthesiology in dentistry: teaching aid]. Stavropol: StGMU, 2014, 202 p. [In Russian]
- 5. Panda M., Shankar T., Raut A., Dev S., Kar A. K., Hota S. *J Indian Prosthodont Soc.* 2018, vol. 18, no. 4, pp. 356–363.
- 6. Taschieri S., Weinstein T., Rosano G., Del Fabbro M. *Int J Oral Maxillofac Surg.* 2012, vol. 41, no. 5, pp. 616–623.
- 7. Lukina G. A. *Morfologiya* [Morphology]. 2009, vol. 136, no. 4, p. 97. [In Russian]
- 8. Speranskiy B. C. *Osnovy meditsinskoy kraniologii* [Fundamentals of medical craniology]. Moscow: Meditsina, 1988, 284 p. [In Russian]
- 9. Kalmin O. V., Ilyunina O. O., Zyul'kina L. A. *Saratovskiy nauchno-meditsinskiy zhur-nal* [Saratov scientific and medical journal]. 2019, vol. 15, no. 3, pp. 690–696. [In Russian]
- 10. Thakur A. R., Burde K., Guttal K., Naikmasur V. G. *Imaging Sci Dent.* 2013, vol. 43, no. 4, pp. 273–281.
- 11. Sicher H. Oral Surg Oral Med Oral Pathol. 1962, vol. 15, pp. 1264–1269.
- 12. Song W. C., Jo D. I., Lee J. Y., Kim J. N., Hur M. S., Hu K. S. *Oral Surg Oral Med Oral Pathol Oral Radiol Endod*. 2009, vol. 108, pp. 583–590.
- 13. Al-Amery S. M., Nambiar P., Jamaludin M., John J., Ngeow W. C. *PLoS One*. 2015, vol. 10, no. 2, p. 13.
- 14. Asaumi R., Kawai T., Sato I., Yoshida S., Yosue T. *Oral Radiology*. 2010, vol. 26, pp. 20–28.
- 15. Soumya P., Koppolu P., Pathakota K. R., Chappidi V. Radiol Res Pract. 2019, 5 p.
- 16. Liang X., Jacobs R., Martens W., Hu Y., Adriaensens P., Quirynen M. *J Clin Periodontol*. 2009, vol. 36, pp. 598–603.

Калмин Олег Витальевич

доктор медицинских наук, профессор, заведующий кафедрой анатомии человека, Медицинский институт, Пензенский государственный университет (Россия, г. Пенза, ул. Красная, 40)

E-mail: ovkalmin@gmail.com

Kalmin Oleg Vital'evich

Doctor of medical sciences, professor, head of the sub-department of human anatomy, Medical Institute, Penza State University (40 Krasnaya street, Penza, Russia)

Илюнина Ольга Олеговна

ассистент, кафедра стоматологии, Медицинский институт, Пензенский государственный университет (Россия, г. Пенза, ул. Красная, 40)

E-mail: olya.ilunina@yandex.ru

Ilyunina Ol'ga Olegovna

Assistant, sub-department of dentistry, Medical Institute, Penza State University (40 Krasnaya street, Penza, Russia)

Образец цитирования:

Калмин, О. В. Взаимосвязь размерных и топографоанатомических характеристик резцового канала с высотно-длиннотным указателем твердого неба / О. В. Калмин, О. О. Илюнина // Известия высших учебных заведений. Поволжский регион. Медицинские науки. — 2020. — № 3 (55). — С. 58—69. — DOI 10.21685/2072-3032-2020-3-6.